

## ИССЛЕДОВАНИЕ И ПРИМЕНЕНИЕ ВЗАИМНО-ОБРАТНЫХ ПЕРЕСТАНОВОК НА ОСНОВЕ НЕЙРОСЕТЕВЫХ ОПЕРАЦИОННЫХ БЛОКОВ В БЛОЧНОМ ШИФРОВАНИИ

© 2012 О. И. Лапшиков<sup>1</sup>, В. Н. Лопин<sup>2</sup>

<sup>1</sup>аспирант каф. программного обеспечения и администрирования  
информационных систем факультета ИВТ

e-mail: woodlin@mail.ru

<sup>2</sup>докт. техн. наук,

профессор каф. программного обеспечения и администрирования  
информационных систем,

e-mail: kzis3@yandex.ru

*Курский государственный университет*

Приведено описание нейросетевых логических модулей, построенных на основе иерархических нейросетей, реализующих операцию подстановки в бинарном информационном потоке. Рассмотрена организация блочного шифрования с использованием взаимно-обратных управляемых перестановок.

**Ключевые слова:** бинарный поток, нейросетевые логические модули, блочный шифр, управляемые перестановки.

Ранее авторами настоящей статьи были рассмотрены вопросы шифрования бинарного потока с использованием нейросетевых логических модулей [Лопин, Захаров 2004; Лопин, Захаров 2004а]. Для реализации шифрования была предложена система шифрования (рис. 1) с иерархической структурной организацией управляемых нейросетевых логических модулей  $NET^m$ ,  $NET^n$ .

В соответствии с алгоритмом функционирования системы, исходный бинарный поток  $Z$  представлялся последовательностью блоков длиной  $2^n$  бит, к которым периодически применялся некоторый фиксированный набор операций подстановки для реализации перестановок в этих блоках. Особенностью этого подхода [Лопин, Захаров 2004а] являлась возможность формирования любой последовательности периодических перестановок для блоков бинарного потока  $Z$  путем задания соответствующих функций активации структуры с помощью настроек  $(T_1, \dots, T_n)$ .

В работах [Молдовян, Молдовян, Еремеев 2004; Молдовян, Молдовян, Советов 2001] была показана эффективность использования различных управляемых операций для проектирования блочных шифров. Дальнейшее развитие подхода, основанного на использовании нейросетевых управляемых логических модулей, позволило предложить вариант блочного шифрования с использованием взаимно-обратных управляемых перестановок.

На рисунке 2 представлена схема одного раунда такого блочного шифрования.

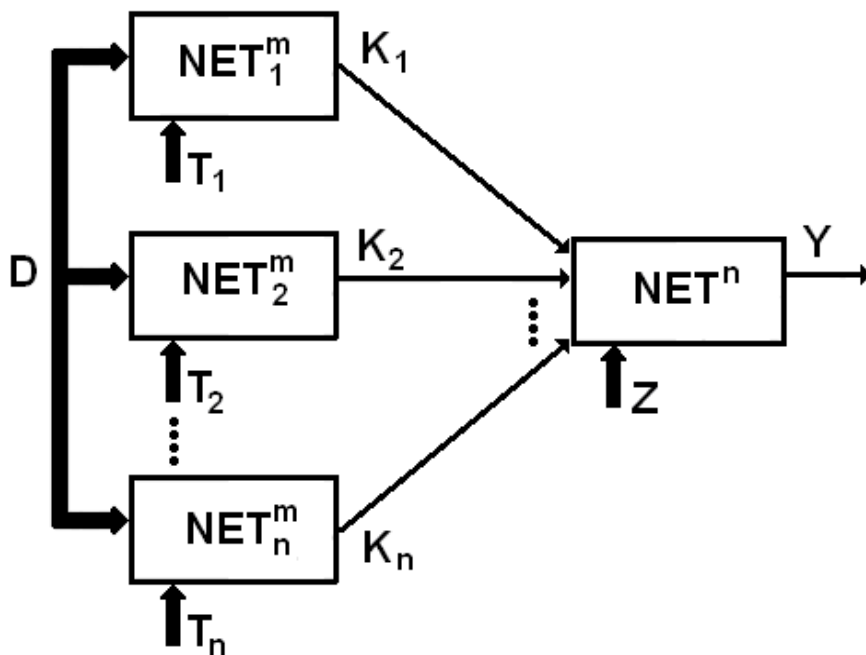


Рис. 1. Система шифрования

В этой схеме используется перенастраиваемый нейросетевой операционный блок, представленный функцией  $Y = NOB_M(A, B)$  и предназначенный для реализации двух взаимно-обратных управляемых перестановок:

$$(F_A(B), F_A^{-1}(B)) : F_A(F_A^{-1}(B)) = F_A^{-1}(F_A(B)), \quad (1)$$

Здесь:  $M \in (\mathbb{R}, \mathbb{R}^{-1})$  – матрица настройки блока, определяющая настройку операционного блока на управляемую перестановку  $F_A(B)$  при  $M=R$  или на управляемую перестановку  $F_A^{-1}(B)$  при  $M=R^{-1}$ ;  $A$  – вектор управления перестановками;  $B$  – вектор входа;  $Y$  – вектор выхода. В раунде шифрования используются ключи  $K_j$  и  $Q_j$ .

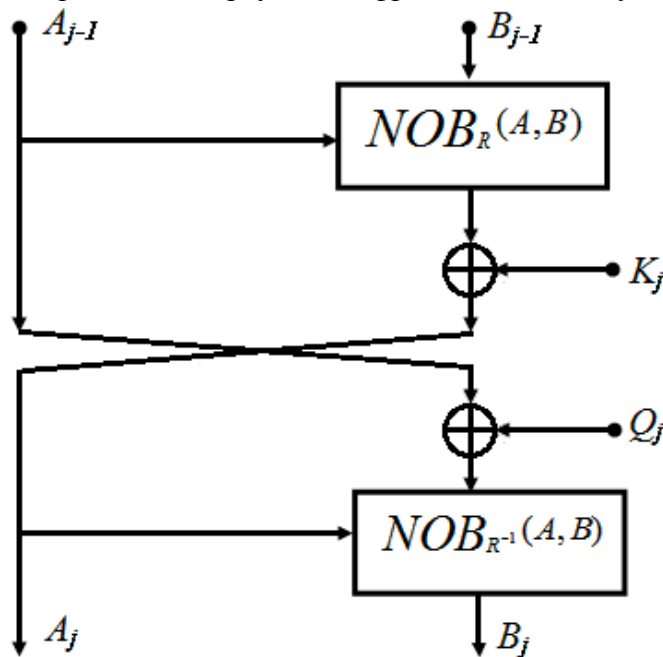


Рис. 2. Схема раунда

Можно доказать, что процедуры шифрования и расшифрования отличаются лишь распределениями (расписаниями) этих ключей по раундам шифрования и расшифрования. Очевидно, что независимо от числа раундов такое доказательство достаточно рассмотреть на двух раундах, выполняющих соответственно шифрование и расшифрование.

Для этого доказательства рассмотрим некоторую гипотетическую систему, включающую в свой состав последовательно раунд шифрования и раунд расшифрования, определяемые схемой на рисунке 2. Для раундовых ключей такой системы введем следующее распределение:

$$(K_j, Q_j, Q_{j+1}, K_{j+1}): (Q_{j+1} = Q_j, K_{j+1} = K_j). \quad (2)$$

Докажем, что на втором раунде такой системы будет выполнена процедура расшифрования, то есть будут выполнены условия

$$A_{j+1} = A_{j-1}, B_{j+1} = B_{j-1}. \quad (3)$$

Действительно, для первого раунда шифрования в соответствии со схемой раунда можно записать следующие преобразования:

$$A_j = F(A_{j-1}, B_{j-1}) \oplus K_j, B_j = F^{-1}(A_j, A_{j-1} \oplus Q_j). \quad (4)$$

Для второго раунда расшифрования выполняются преобразования:

$$A_{j+1} = F(A_j, B_j) \oplus Q_{j+1}, B_{j+1} = F^{-1}(A_{j+1}, A_j \oplus K_{j+1}). \quad (5)$$

Таким образом, на втором раунде, учитывая свойства (1) взаимно-обратных управляемых перестановок, можно записать:

$$\begin{aligned} A_{j+1} &= F(A_j, B_j) \oplus Q_{j+1} = F(A_j, F^{-1}(A_j, A_{j-1} \oplus Q_j)) \oplus Q_{j+1} = A_{j-1}, \\ B_{j+1} &= F^{-1}(A_{j+1}, A_j \oplus K_{j+1}) = F^{-1}(A_{j+1}, F(A_{j-1}, B_{j-1}) \oplus K_j \oplus K_{j+1} = B_{j-1}). \end{aligned} \quad (6)$$

Следовательно, условия расшифрования (3) на втором раунде предлагаемой системы блочного шифрования выполняются.

Нейросетевой операционный блок  $NOB_M(A, B)$ , как и приведенная ранее система шифрования (рис. 1), может быть реализован в базисе управляемых нейросетевых логических модулей  $NET^m, NET^n$ .

Было показано [Лопин, Захаров 2004а], что в любом нейросетевом логическом модуле  $NET^k, k \in (n, m)$ , представленном на рисунке 4, управление перестановками в бинарном потоке  $Z$  можно задавать графом переходов вектора  $X$ .

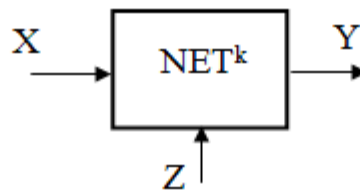


Рис. 4. Нейросетевой логический модуль:  $X = (x_1, \dots, x_n); Z = (z_1, \dots, z_{2^n}); Y = (y_1, \dots, y_{2^n})$

Действительно, любой граф переходов (рис. 5)  $GX_j[c_{ij}; i \in (0, 1, \dots, 2^n - 1); j \in (1, 2, \dots, 2^n!)$  однозначно определяет соответствующую операцию подстановки для  $2^n$  разрядного блока в бинарном потоке  $Z$ .

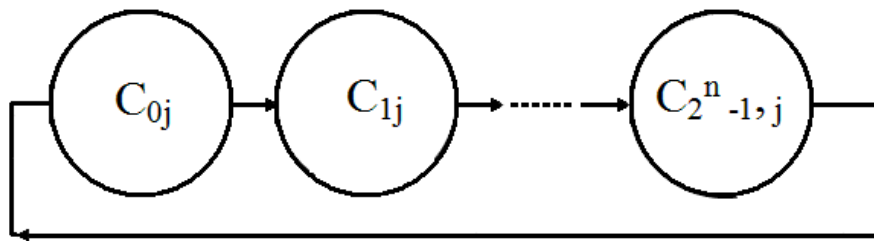


Рис. 5. Граф переходов вектора  $X: c_{ij} = (x_{1ij}, x_{2ij}, \dots, x_{nij})$

Таким образом, любому графу  $GX_j[c_{ij}]$  можно поставить в соответствие некоторую операцию подстановки  $P_j$  и наоборот. Известно [Лопин 2004], что иерархический нейросетевой модуль  $NET^k$  может реализовать любую булеву функцию  $k$  переменных  $Y = f_z(X)$ , где  $Z = (z_1, \dots, z_{2^m})$  – вектор настройки модуля. Следовательно, оказывается возможным в базе иерархических нейросетевых модулей организовать управление графами переходов  $GX_j[c_{ij}]$  и, соответственно, операциями подстановки  $P_j$ . На рисунке 6 представлена структура операционного блока  $NOB_M(A, B)$  в базе нейросетевых модулей  $NET^k$ .

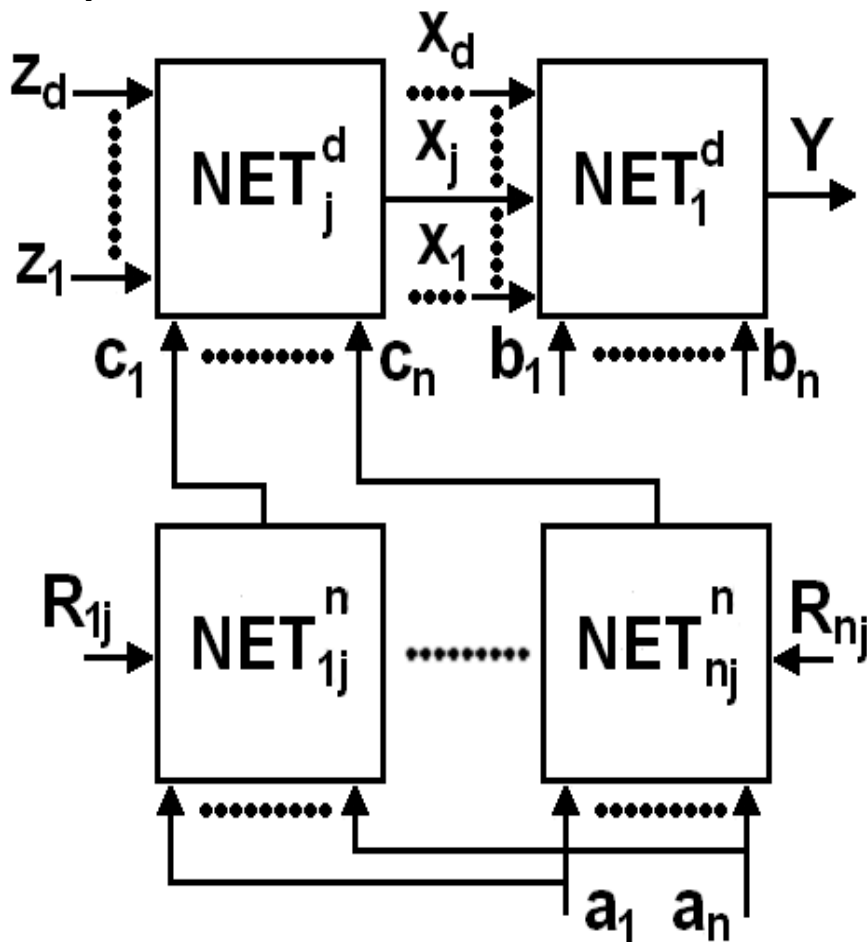


Рис. 6. Структура операционного блока  $NOB_M(A, B): A=(a_1, \dots, a_n); B=(b_1, \dots, b_n); Y=(y_1, \dots, y_n); M=(R; R^{-1})=(R_{1j}, \dots, R_{nj}, R_{1j}^{-1}, \dots, R_{nj}^{-1}), j=(1, \dots, d)$

Вектор инициализации  $Z=(z_1, \dots, z_d)$  задается фиксированным графом (рис. 7) переходов  $GZ[k_i]; k_i = i, i \in (0, 1, \dots, 2^d - 1)$ .

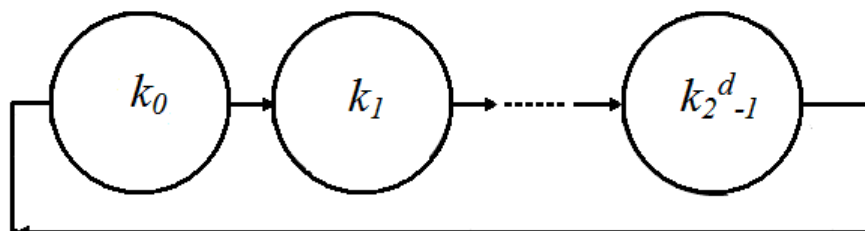


Рис. 7. Граф переходов вектора  $Z$

Представленный операционный блок  $NOB_M(A, B)$  реализует перестановку  $F_A(B)$  при  $M=(R)=(R_{1j}, \dots, R_{nj})$  и перестановку  $F_A^{-1}(B)$  при  $M=(R^{-1})=(R_{1j}^{-1}, \dots, R_{nj}^{-1})$ . Таким образом, обе взаимно-обратные управляемые перестановки реализуются одним операционным блоком, допускающим перенастройку двух возможных режимов.

Из структуры, представленной на рисунке 6 следует, что для реализации операционного блока  $NOB_M(A, B)$  при  $A=(a_1, \dots, a_n)$  и  $B=(b_1, \dots, b_n)$  необходимо использовать  $S_d=(1 + \log_2 n)$  модулей  $NET^d$  и  $S_n=(n \cdot \log_2 n)$  модулей  $NET^n$ .

Учитывая, что аппаратная реализация раунда преобразования блока длиной  $n$  требует применения двух операционных блоков  $NOB_M(A, B)$ , можно определить структурную сложность  $S$  аппаратной реализации раунда следующим выражением:

$$S=(2S_d+2S_n):S_d=(1+\log_2 n), S_n=(n \cdot \log_2 n). \quad (6)$$

Таким образом, в операционном блоке  $NOB_M(A, B)$  можно использовать однородные базисные нейросетевые модули двух типов:  $NET^d$  и  $NET^n$ , отличающиеся лишь числом информационных и настроечных входов.

Очевидно, что предлагаемая структурная организация операционных блоков, основанная на применении однородных базисных нейросетевых модулей двух типов, в значительной степени отвечает возможности их аппаратной реализации в виде СБИС.

### Библиографический список

Лопин В. Н., Захаров И. С. Применение иерархических нейросетей для шифрования бинарного информационного потока // Телекоммуникации. М.: Наука и технологии, 2004. № 11. С. 36–40.

Лопин В. Н., Захаров И. С. Шифрование бинарного информационного потока методом периодических перестановок на основе нейросетевых логических модулей. // Телекоммуникации. М.: Наука и технологии, 2004. № 12. С. 31–35.

Молдовян Н. А., Молдовян А. А., Еремеев М. А. Криптография от примитивов к синтезу алгоритмов. СПб.: БХВ-Петербург, 2004. 448 с.

Молдовян Н. А., Молдовян А. А., Советов Б. Я. Криптография. СПб.: Лань, 2001. 224 с.